

II-116 河口樋門を有する低平地河川の排水について

名古屋大学 工学部 正員 足立昭平

" " " 伊藤紹慶

" " " ○織田重和

干拓によつて陸地化された低平地の排水は、外水条件として、海城の高潮および河川の洪水に制約される。とくに、高潮の管威が大きいところでは海城の条件に強く支配され、中小河川の場合は河口樋門を設けて、河川堤防と海岸堤防とを分離するのが通常である。河口樋門は、当然河川洪水流量を通水できかうに設計されるわけであるが、樋門の操作は海城の潮位に支配されるから、高潮時には通水不能であつて内水貯留に頼らざるを得ない。したがつて、流域の土地利用形態が変貌するにつれて、河口樋門の排水機能が問題視されるようになつた。この問題に対する考え方には2通りあつて、その一つは、流域貯留の減少を排水能力の増強で切り抜きようとするものであり、一方は、河口樋門の排水能力の増強よりも、流域貯留の確保に努めようとするものである。前者の立場からは、樋門の改修あるいは大容量のポンプの構設が考えられるが、樋門改修は高潮時の排水量を増大できても、高潮時の排水には自ずから限界があり、ポンプ排水は大容量になるとほど管理面あるいは稼働効率に難済を生む。後者の立場からは、流域内水路、遊水池の系統的配置による内水貯留機能の分散を計ることが考えられる。筆者らは、低平地排水の基本的発想としては後者の立場を強調したいと考える者であるが、そのためには、まず河口樋門の排水能力に見合つた内水貯留の算定法を明らかにしてなければならぬ。本報告は、その手始めとして、二三の低平地河川の一例である日光川をとりあげ、河口樋門排水限界に関する試算について述べたものである。

日光川は、流域面積約 300 km^2 、本川延長約 30 km 、最高標高30m余の低平地河川である。流域を模型化して示せば、図1のようであつて、ポンプ排水区域が全流域面積の丁度 $1/2$ を占め、自然排水区域からの雨水流出流量 Q_i はポンプ排水区域を縦貫する 10 km の河道を通じて河口遊水池に導かれ、ポンプ排水区域の大部分は、300年来の干拓事業によつて造成されたものであり、排水路はいくつかの系統に分かれ、その総排水量 Q_p は河口遊水池へ直接排出されるとして見てよい。

いま、河口遊水池およびそれに連なる河渠の水面積 A の水位変動が水面勾配を一定に保つと仮定すれば、河口遊水池の水位変動は次式で与えられる。

$$(1) A \frac{dh}{dt} = Q_i + Q_p - Q_o$$

$=$ ただし、 h は河口樋門内外水位（水深）であり、 Q_o は樋門流量である。

Q_o は樋門の内外水位差に決定づけられるが、流出の際の断面急拡によつて損失水頭が、樋門通過の流れの速度水頭に等しいと仮定すれば、

$$(2) Q_o = B h \sqrt{2g(h-h_0)}$$

である。ただし、 B は樋門の開口幅であり、 h_0 は樋門直上から測った海城の潮位である。潮位は半日潮が主要な変動と考へられるから、単純振動と見なして、周期 T 、振幅 A 、平均潮位 D とあれば

$$(3) h_0 = D + A \cos\left(\frac{2\pi t}{T}\right)$$

である。さらに、水深および時間を無次元変数

$$(4) \eta = (h-h_0)/D \quad \text{および} \quad \tau = t/T$$

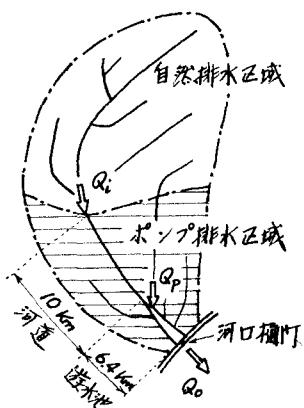


図1. 流域模型図

\propto おき代えておけば 式(1) は

$$(5) \quad \frac{d\eta}{dT} = \alpha + 2\pi\gamma \sin(2\pi T) - \beta \{ 1 + \gamma \cos(2\pi T) + \eta \} \sqrt{\eta}.$$

となる。 $\propto = k$, $\alpha = (Q_i + Q_p)T/AD$, $\beta = B\sqrt{gD}T/A$, $\gamma = a/D$ である。

日光川の場合, $A = 3.23 \text{ km}^2$, $B = 87 \text{ m}$, $D = 4.5 \text{ m}$ と見なすから, 半日潮 $T = 12 \text{ hr}$ に対して $\beta = 10.9$ である。図2は, $\gamma = 0.2$, すなわち $a = 0.7 \text{ m}$ の大潮に対する式(5)の計算例であり, $\alpha = 1.34 \sim 0.37$ の各値はそれぞれ $(Q_i + Q_p) = 125, 200, 250, 300, 350, 400$ および $450 \text{ m}^3/\text{s}$ に対応する。横軸 $T = 0, 1.0$ が満潮時刻, $T = 0.5, 1.5$ が干潮時刻をあらわし, この計算例においては, 初期条件を $T = 0$ で $\eta = 0$ としているが, η の位相は初期条件, つまり, 極門の前操作にはほとんど影響されないことが注目される。また, α の値がかなり小さなものであることから, この計算例の範囲では, 極門の内外水位変動は, 外水位の変動によく追従することができる。これらの η の変化を日光川河口極門における内外水位変動の実測値として図示すれば, 図3のようであり, 結局総排水流量値に対応する内水位の上昇高は, “ \propto ” の場合, 極門が閉じられてからの間の水位上昇高で決まっててしまうと考えることができます。すなわち, 概算的には, 完全貯留の際の内水位上昇勾配で外水位漲潮曲線に接線を引き, その直線と外水位落潮曲線との交点が内水最高水位を与えると考えよ。

すれ, $\gamma = 0.1$, すなわち $a = 0.45 \text{ m}$ の小潮に対する内水位曲線の計算例は図4に示すようであり, 流量が小 \propto の場合には, 小潮時の内水位の方が大潮時のそれを上回ることがあるが, 流量が大きくなれば, 大潮時の内水位の方がずっと高く, 漱水時の排水問題に対しては, 大潮と外水条件とすればよいことがわかる。

日光川の場合, 河口遊水地の背水は自然排水区域の河道にまで及び, 現況の河川堤防では Q_i の限界値は極門内水位 T.P. 1.34 m に対して $250 \text{ m}^3/\text{s}$ の程度と推算される。したがって, 図3の大潮に対してポンプ排水区域の排水流量 Q_p は $(250 \text{ m}^3/\text{s} - Q_i)$ にあたるねばならないことになる。

以上, 河口極門の排水機能について, 総排水流量と外水位の条件に対応する内水位の試算法を述べたが, 日光川流域の場合, 100年確率降雨に対する流出が900%にも達するとされており, 上記の現況における許容流量が堤防放流によって若干の修正は可能とあって, 内水時隔機能の確保が必然であり, その系統的な検討が今後の重要な課題と看なられる。

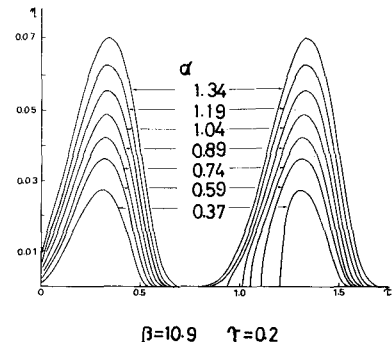


図2. η (極門水位差) の計算例

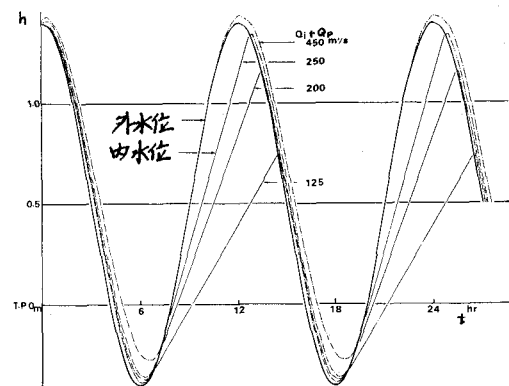


図3. 大潮時の極門内外水位変動曲線

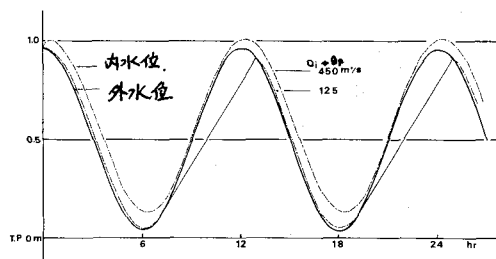


図4. 小潮時の極門内外水位変動曲線